
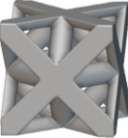
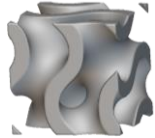
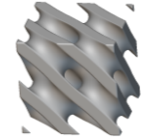
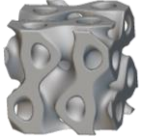
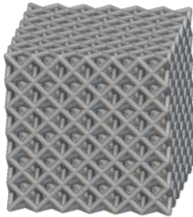
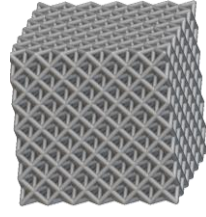
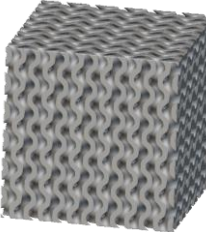
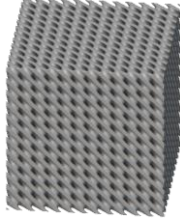

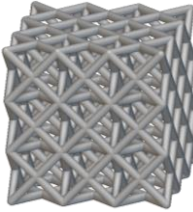
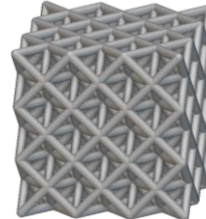
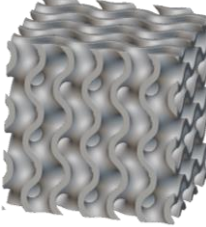
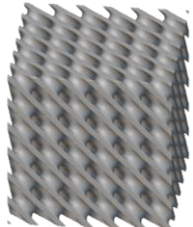



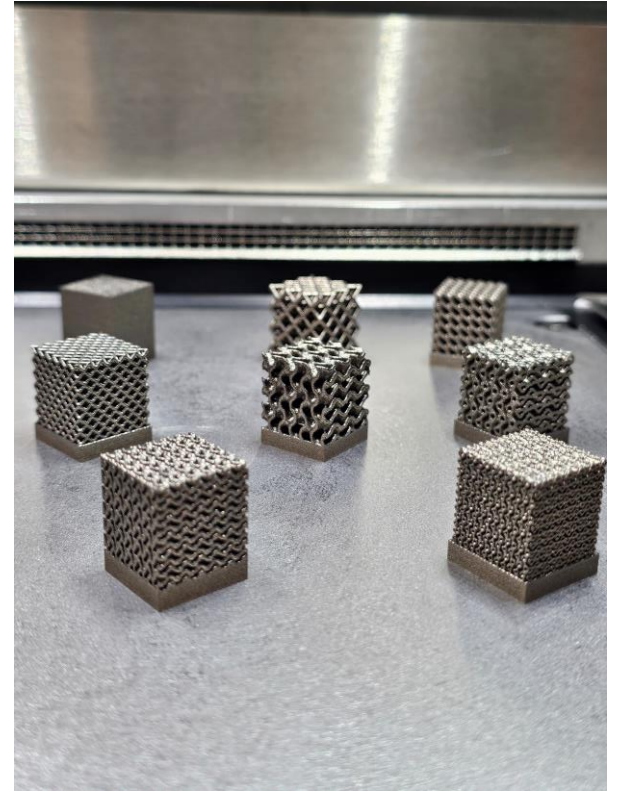
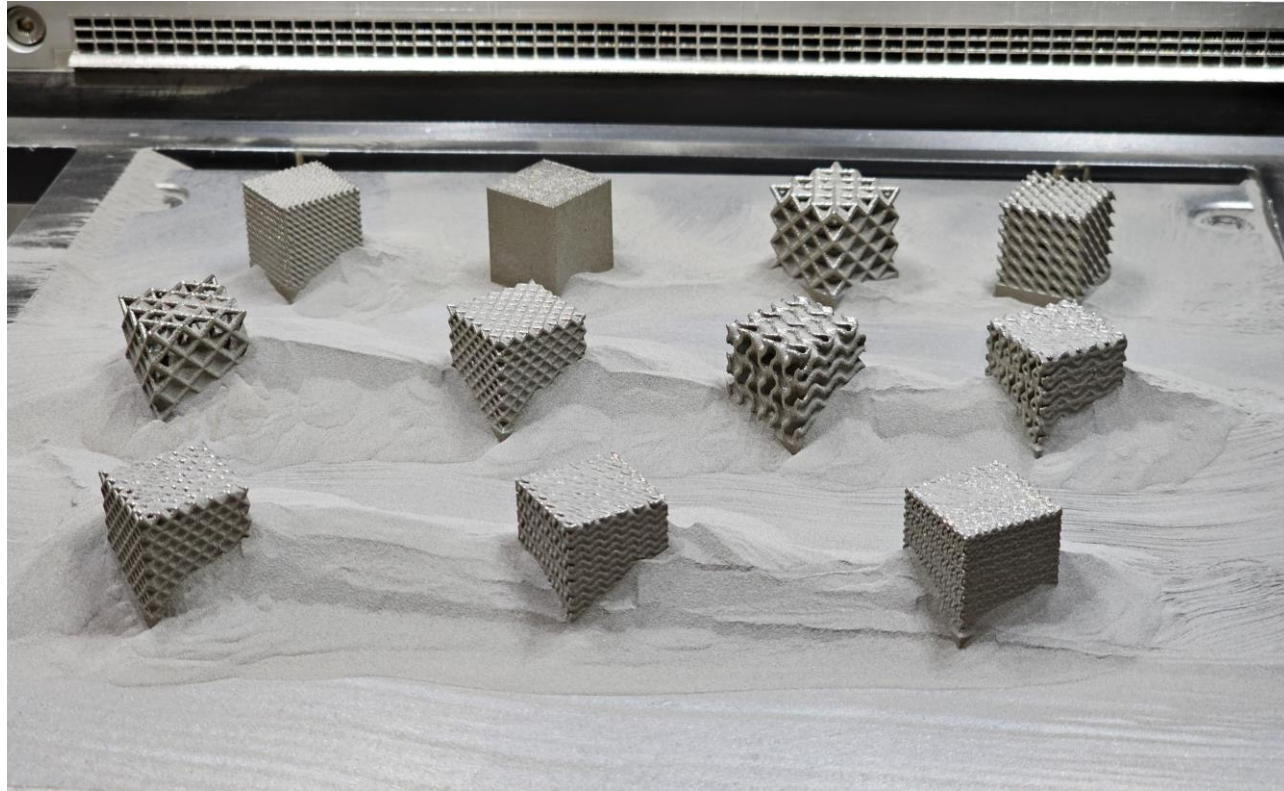
Analyse Comparative des Structures de Treillis pour la Fabrication Additive SLM : Impact de la Légèreté sur les Performances Mécaniques

Oussema Bouguerra, Nouredine Barka, Shayan Dehghan

Plan d'expérience

Type	FCC	Octet	Gynoïde	Diamond	Split P
Unité					
Taille d'unité					
					

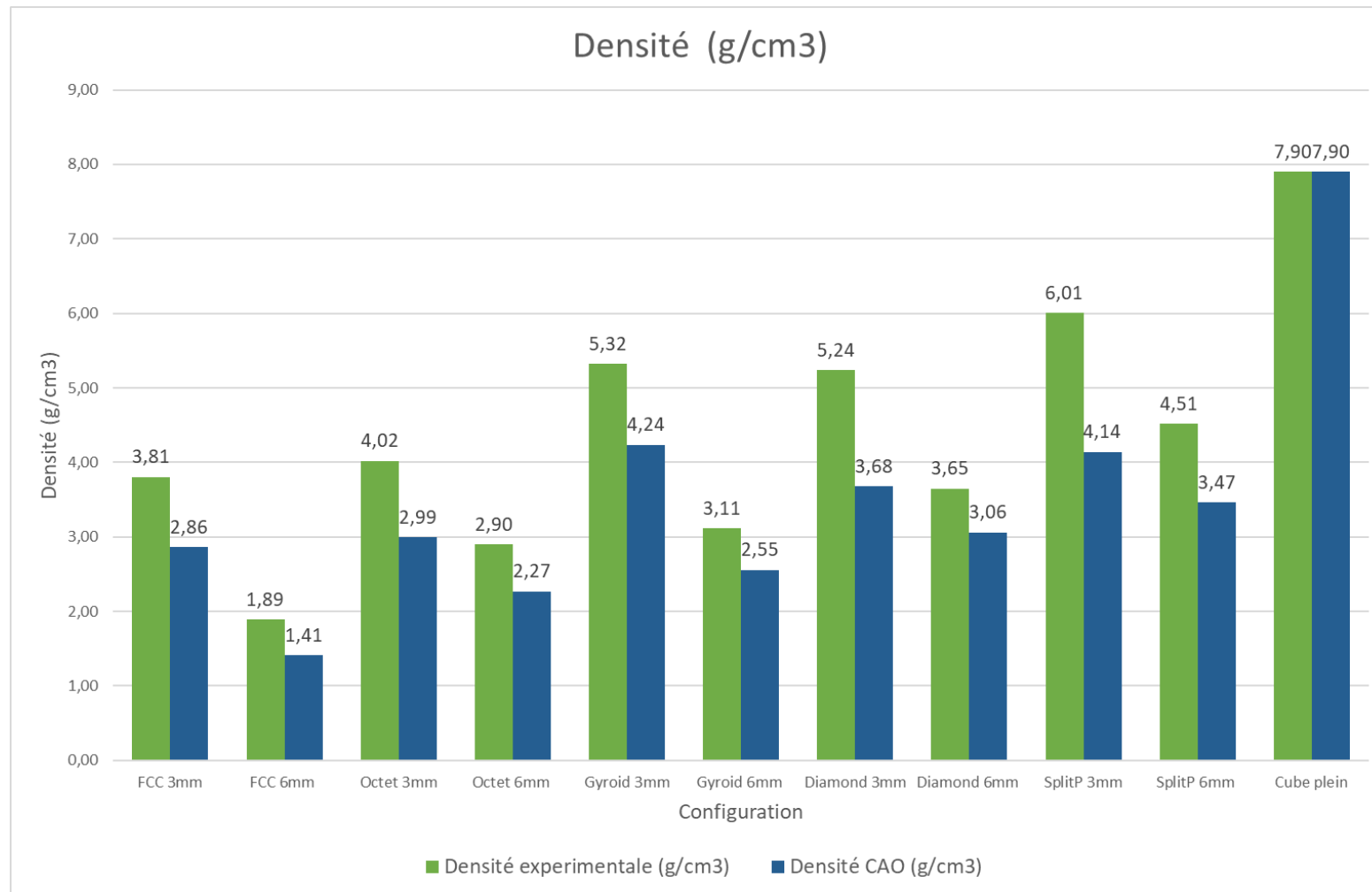
Impression des structures



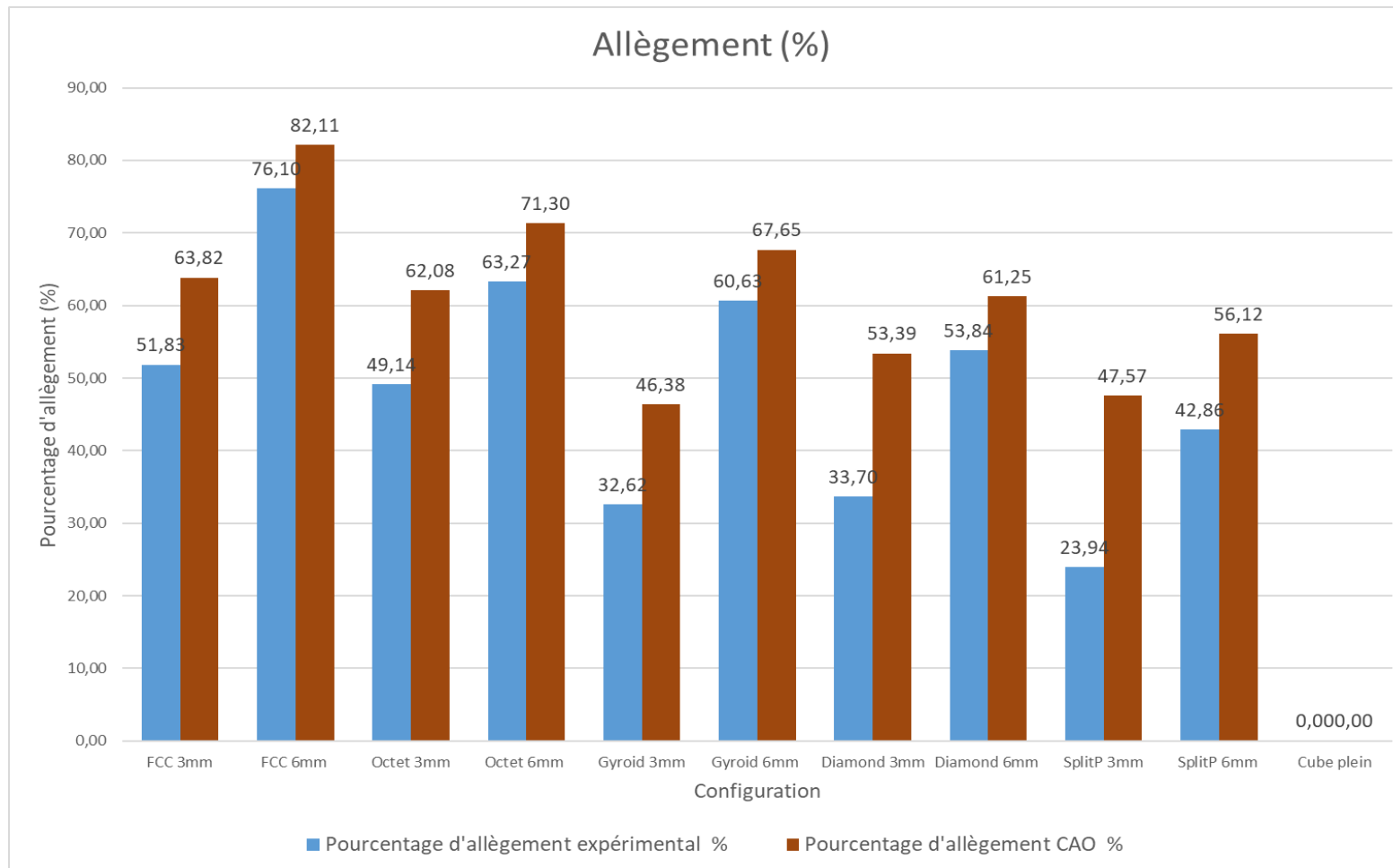
Calcul des densités et de l'allègement



Calcul des densités et de l'allègement

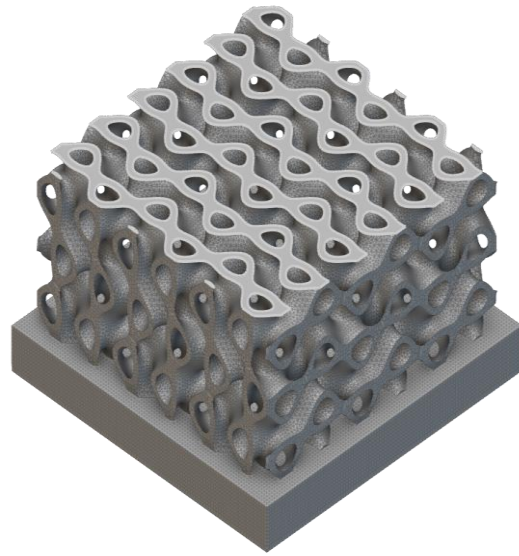
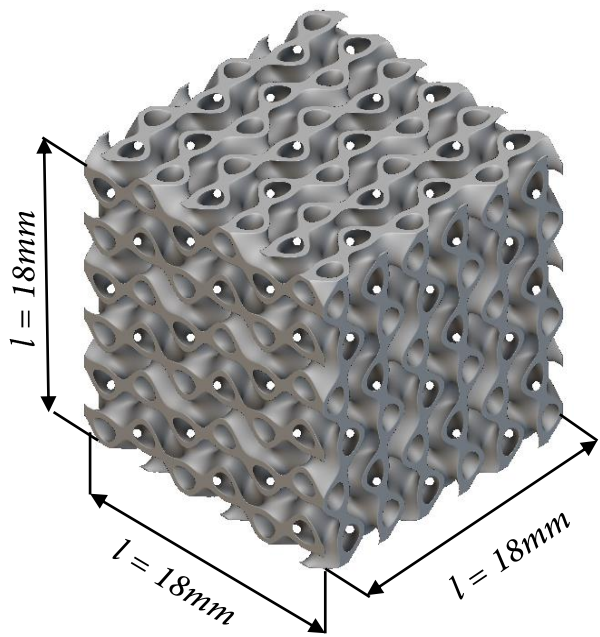


Calcul des densités et de l'allègement

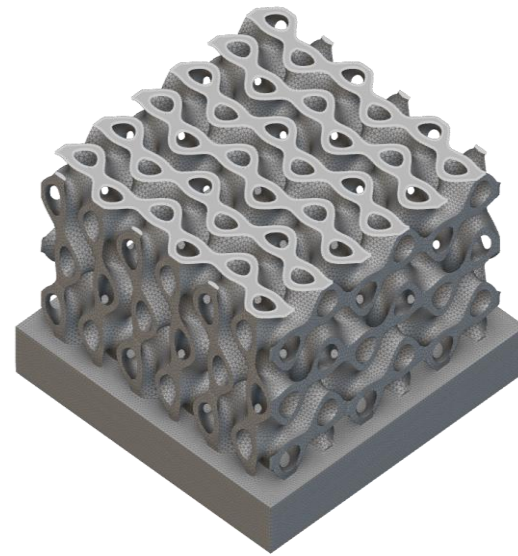


Simulation de l'essai de compression

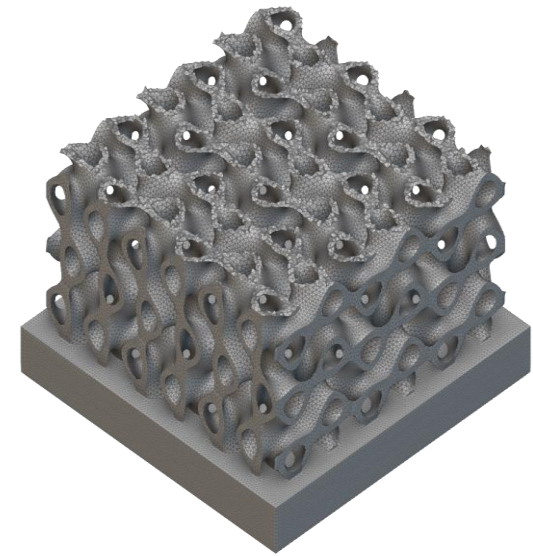
Géométrie et maillage



(1)



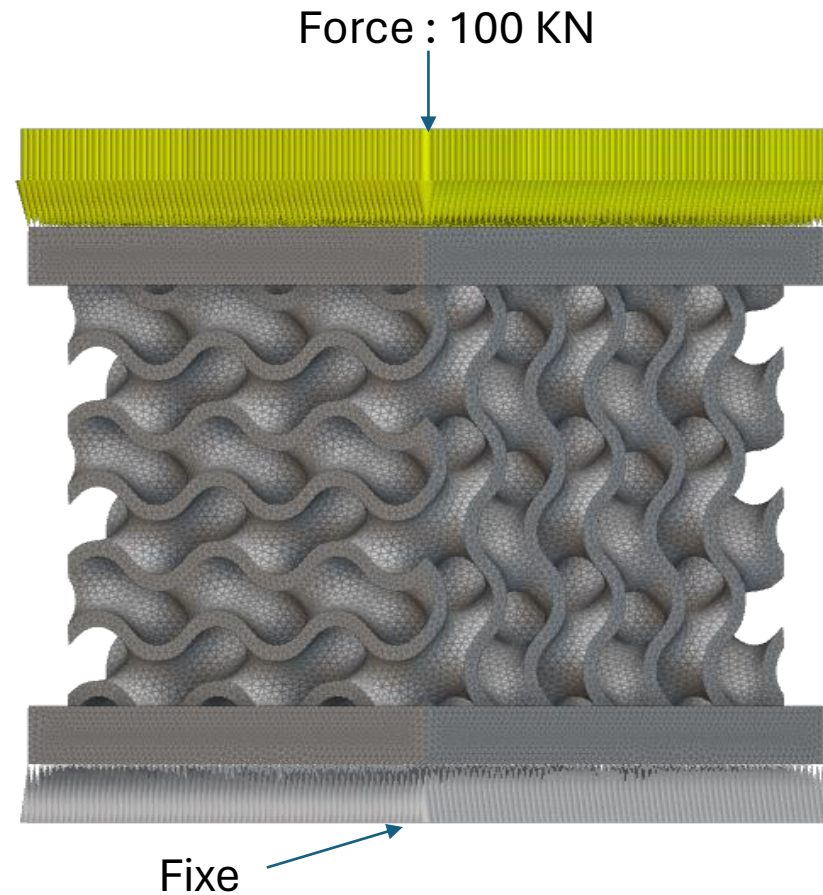
(2)



(3)

Simulation de l'essai de compression

Conditions aux limites



Simulation de l'essai de compression

Résultats

